

Leff Armor Communauté



Atlas de la Géomorphologie du trait de côte en Bretagne

- Entre 2012 et 2020, la DREAL Bretagne et le BRGM ont réalisé un « Atlas de la géomorphologie du trait de côte » en Bretagne.
- Cet atlas synthétise un grand nombre d'informations relatives aux plus de 2900 kilomètres de trait de côte (TdC) en Bretagne
 - Géologie et géomorphologie du trait de côte à l'échelle 1/15 000
 - Avant-trait-de-côte (nature de l'estran) et Arrière-trait-de-côte (zone rétrolittorale vulnérable)
 - Secteurs identifiés comme étant en érosion
 - Mouvements de terrain, cavités souterraines et sous-cavages et autres observations ponctuelles
 - Recensement des dommages côtiers causés par des tempêtes passées
- Les données issues de ces travaux sont consultables et téléchargeables sur le site de GéoBretagne

➡ <https://geobretagne.fr/mapfishapp/map/4d1971c15588f73987b00343d1475975>

LAC – Géomorphologie du TdC

- Un littoral naturel limité à la commune de Plouha et marqué par d'importantes falaises rocheuses (les plus hautes de Bretagne)
- Chiffres clés:
 - 16,5 km de trait de côte caractérisés
 - 0,9 km (5,4 %) de côtes artificialisées
 - Dont 0 km classés comme abimés (soit 0 % du littoral caractérisé)
 - 15,5 km (93,9 %) de côtes à falaises (*essentiellement des roches volcaniques et métavolcaniques acides et des roches granitiques*)
 - Dont 0 km classés comme altérés (soit 0 % du littoral caractérisé)
 - Dont 2,1 km classés comme en érosion lors des visites terrain (soit 12,7 % du littoral caractérisé)
 - 0,2 km (1,2 %) de côtes d'accumulation (*essentiellement des plages de matériaux mixtes ou de galets*)
 - Dont 0 km classés comme en érosion lors des visites terrain (soit 0 % du littoral caractérisé)
 - Soit au final sur les 16,5 km de trait de côte caractérisés:
 - 2,1 km en érosion (soit 12,7 % du littoral caractérisé)
 - 14,4 km stables (87,3 % du littoral caractérisé)

LAC – Géomorphologie du TdC

| Leff Armor Communauté | | | | | | | | | | | | | |
|---|--------------|-------------------------------|-------------|-----------------|--------------|--|---------------|----------------------|--------------|--------------------------|-------------|------------------------|-------------|
| Géomorpho | Total | Caractère altéré / en érosion | | | | Croisement des caractéristiques altéré/érosion | | | | | | | |
| | | Dont altéré | soit (%) | Dont en érosion | soit (%) | Dont sain sans érosion | soit (%) | Dont sain en érosion | soit (%) | Dont altéré sans érosion | soit (%) | Dont altéré en érosion | soit (%) |
| Roches granitiques | 5.62 | 0.00 | 0.00 | 1.00 | 17.71 | 4.62 | 82.29 | 1.00 | 17.71 | 0.00 | 0.00 | 0.00 | 0.00 |
| Roches métamorphiques | 0.00 | 0.00 | - | 0.00 | - | 0.00 | - | 0.00 | - | 0.00 | - | 0.00 | - |
| Roches volcano-sédimentaires | 0.00 | 0.00 | - | 0.00 | - | 0.00 | - | 0.00 | - | 0.00 | - | 0.00 | - |
| Roches métamorphiques basiques | 0.00 | 0.00 | - | 0.00 | - | 0.00 | - | 0.00 | - | 0.00 | - | 0.00 | - |
| Roches volcaniques et métavolcaniques acides | 6.35 | 0.00 | 0.00 | 0.00 | 0.00 | 6.35 | 100.00 | 0.00 | 0.00 | 0.00 | 0.00 | 0.00 | 0.00 |
| Roches plutoniques à volcaniques basiques | 1.15 | 0.00 | 0.00 | 0.00 | 0.00 | 1.15 | 100.00 | 0.00 | 0.00 | 0.00 | 0.00 | 0.00 | 0.00 |
| Filons rocheux | 0.00 | 0.00 | - | 0.00 | - | 0.00 | - | 0.00 | - | 0.00 | - | 0.00 | - |
| Roches quartzitiques (ou localement mylonitiques) | 0.00 | 0.00 | - | 0.00 | - | 0.00 | - | 0.00 | - | 0.00 | - | 0.00 | - |
| Roches de type grès armoricain | 1.00 | 0.00 | 0.00 | 0.00 | 0.00 | 1.00 | 100.00 | 0.00 | 0.00 | 0.00 | 0.00 | 0.00 | 0.00 |
| Roches sédimentaires (schisto-gréseuses) | 0.30 | 0.00 | 0.00 | 0.00 | 0.00 | 0.30 | 100.00 | 0.00 | 0.00 | 0.00 | 0.00 | 0.00 | 0.00 |
| Roches métamorphiques très altérées | 0.00 | 0.00 | - | 0.00 | - | 0.00 | - | 0.00 | - | 0.00 | - | 0.00 | - |
| Dépôts de pente (des colluvions aux alluvions) | 1.10 | - | - | 1.10 | 100.00 | 1.10 | 100.00 | 1.10 | 100.00 | - | - | - | - |
| Terrasses anciennes plus ou moins perchées (limono) | 0.00 | - | - | 0.00 | - | 0.00 | - | 0.00 | - | - | - | - | - |
| Total Côtes à falaises | 15.51 | 0.00 | 0.00 | 2.10 | 13.51 | 14.52 | 93.58 | 2.10 | 13.51 | 0.00 | 0.00 | 0.00 | 0.00 |
| Cordon dunaire sableux | 0.00 | - | - | 0.00 | - | 0.00 | - | 0.00 | - | - | - | - | - |
| Cordon de matériaux mixtes ou de galets | 0.04 | - | - | 0.00 | 0.00 | 0.04 | 100.00 | 0.00 | 0.00 | - | - | - | - |
| Plage de sable | 0.00 | - | - | 0.00 | - | 0.00 | - | 0.00 | - | - | - | - | - |
| Plage de matériaux mixtes ou de galets | 0.13 | - | - | 0.00 | 0.00 | 0.13 | 100.00 | 0.00 | 0.00 | - | - | - | - |
| Plage de sable adossée | 0.00 | - | - | 0.00 | - | 0.00 | - | 0.00 | - | - | - | - | - |
| Plage adossée de matériaux mixtes ou de galets | 0.00 | - | - | 0.00 | - | 0.00 | - | 0.00 | - | - | - | - | - |
| Tombolo sableux | 0.00 | - | - | 0.00 | - | 0.00 | - | 0.00 | - | - | - | - | - |
| Tombolo de matériaux mixtes ou de galets | 0.00 | - | - | 0.00 | - | 0.00 | - | 0.00 | - | - | - | - | - |
| Flèches de sable ou de galets | 0.00 | - | - | 0.00 | - | 0.00 | - | 0.00 | - | - | - | - | - |
| Queue de comète de galets | 0.00 | - | - | 0.00 | - | 0.00 | - | 0.00 | - | - | - | - | - |
| Marais maritime ou estuaire | 0.00 | - | - | 0.00 | - | 0.00 | - | 0.00 | - | - | - | - | - |
| Artificiel | 0.87 | - | - | 0.00 | 0.00 | 0.87 | 100.00 | 0.00 | 0.00 | - | - | - | - |
| Total Côtes d'accumulation | 1.04 | - | - | 0.00 | 0.00 | 1.04 | 100.00 | 0.00 | 0.00 | - | - | - | - |
| Total | 16.55 | 0.00 | 0.00 | 2.10 | 12.66 | 15.55 | 93.99 | 2.10 | 12.66 | 0.00 | 0.00 | 0.00 | 0.00 |

Leff Armor Communauté

Géomorphologie simplifiée



Géomorphologie du trait de côte

- Côte à falaise
- Côte à falaise en érosion
- Côte d'accumulation
- Côte d'accumulation en érosion
- Côte artificielle
- Côte artificielle abimée

Les données SIG de l'atlas sont consultables et téléchargeables sur GéoBretagne (<https://geobretagne.fr/mapfishapp/map/4d1971c15588f73987b00343d1475975>). Ces données SIG contiennent plus d'informations que celles représentées sur les cartes (géologie de la côte, de l'arrière-trait-de-côte, de l'estran...)

0 0.75 1.5 km



Sources des données:

- Fonds: Scans 25 2016 (IGN)
- Trait de côte: Histolitt v2 (SHOM)
- Géomorphologie, Avant Trait de côte, Arrière Trait de Côte: Schroëter et Blaise (2015) : <https://infoterre.brgm.fr/rapports/RP-65212-FR.pdf>
- Le Roy et al. (2020) (BRGM): <http://infoterre.brgm.fr/rapports/RP-69485-FR.pdf>

LAC – Cinématique des côtes d'accumulation

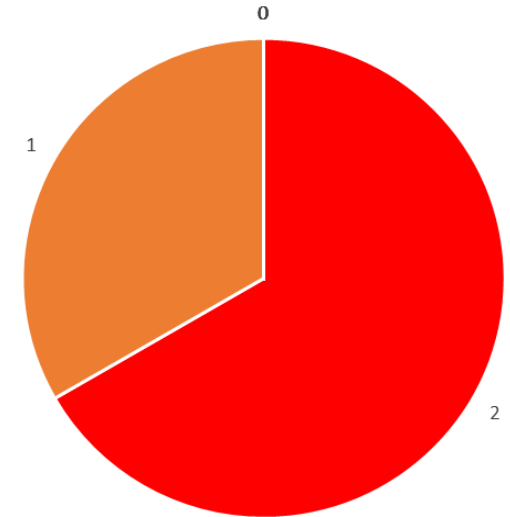
- Analyse diachronique 1952-2008
- Secteurs clés sur LAC
 - Tendances à l'érosion des plages du Palus et de Port-Logot (quelques centimètres par an), ainsi que localement dans l'anse de Bréhec



LAC - Tempêtes

- Environ 3 points correspondant à 3 événements de tempêtes (dont 1 événement datés seulement au mois et 1 seulement à l'année)
- 3 impacts directs (Erosion, Submersion...)

Impacts de tempêtes - LAC



LAC - Tempêtes

- Événements marquants:
 - **19-20 Février 1996** (1 « *Submersion/Erosion* »): A **Plouha**, la mer a envahi « le Berlin », terre-plein en arrière du cordon littoral du Palus; le cordon de galets a été déplacé vers le parking, les portes et cloisons des sanitaires ont été brisées. Un pan de falaise s'est effondré, les blockhaus à l'Est de la plage sont déstabilisés, les cabines ont été arrachées et les jeux d'enfants démolis par le vent.
 - **Décembre 1883** (1 « *Erosion* »): A **Plouha**, une très forte tempête au mois de décembre a démoli le musoir du brise-lames de Gwin Zegal dont les travaux de parachèvement s'étaient terminés en 1883.
 - **Hiver 1880-1881** (1 « *Erosion* »): A **Plouha**, le brise-lames de Gwin Zegal devait être réparé lorsque les tempêtes de l'hiver 1880-1881 aggravèrent son état...

